

MAPA GEOLOGICO DE ESPAÑA

Escala 1:50.000

DOCUMENTACION COMPLEMENTARIA

ALBUM DE FOTOGRAFIAS

Hoja 353 (26-14)

PEDROLA

Autores:

Esnaola Gómez, J.M.  
Leyva Cabello, F.



26.14-GS-JE-9051

Panorámica de la Serrata de La Lomaza, con una de las exposiciones continuas mas completas de los términos del Neógeno presente en la HOja.



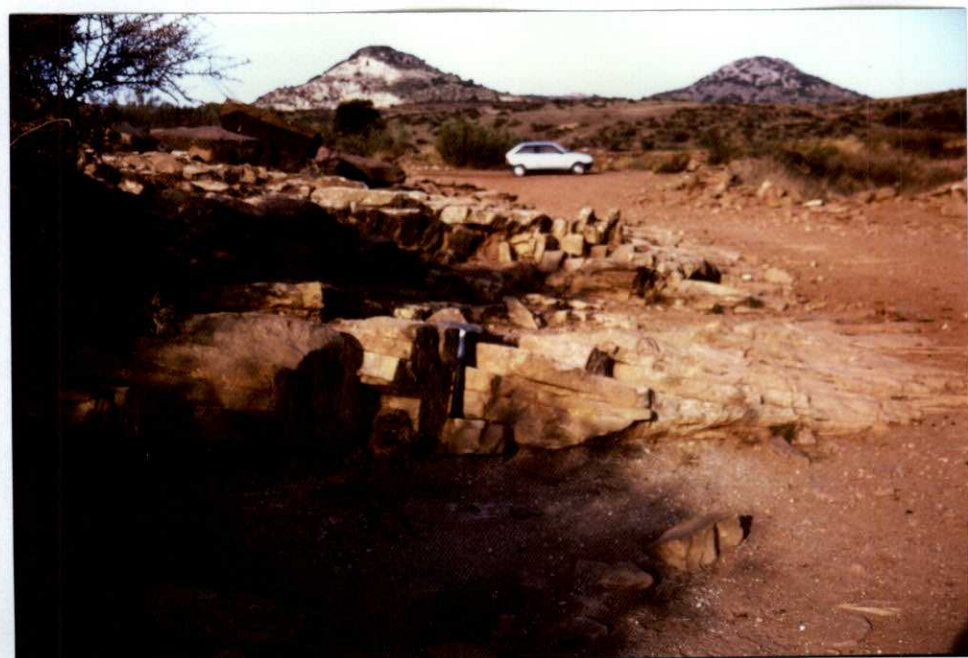
26.14-GS-JE-9053

Facies yesífero-dolomíticas techo de la U. Palleruelo-Monte de La Sora (U.T.S. N-1), en los cerros del Espartal.



26.14-GS-JE-9054

Estratificación cruzada en conglomerados y arenas de la terraza de 190 m al sur de El Aguila.



26.14-GS-JE-9055

Estratificaciones cruzadas en los paleocanales de areniscas de la alternancia de areniscas y lutitas rojas de la facies Buntsandstein.



26.14-GS-JE-9056

Contacto entre el término superior lutítico rojo del Buntsandstein y el inferior margoso gris atribuido al Muschelkalk.



26.14-GS-JE-9058

Pozo artesiano de aguas salobres en las inmediaciones de Pozuelo de Aragón.



26.14-GS-JE-9060

Conglomerados de cantes paleozoicos y triásicos de la terraza de 40 m del Bco del Bayo.



26.14-GS-JE-9061

Perspectiva hacia el Este de la superficie de enrasamiento perteneciente a la terraza de 40 m del interfluvio Bco del Bayo-Bco de Juan Gastón.



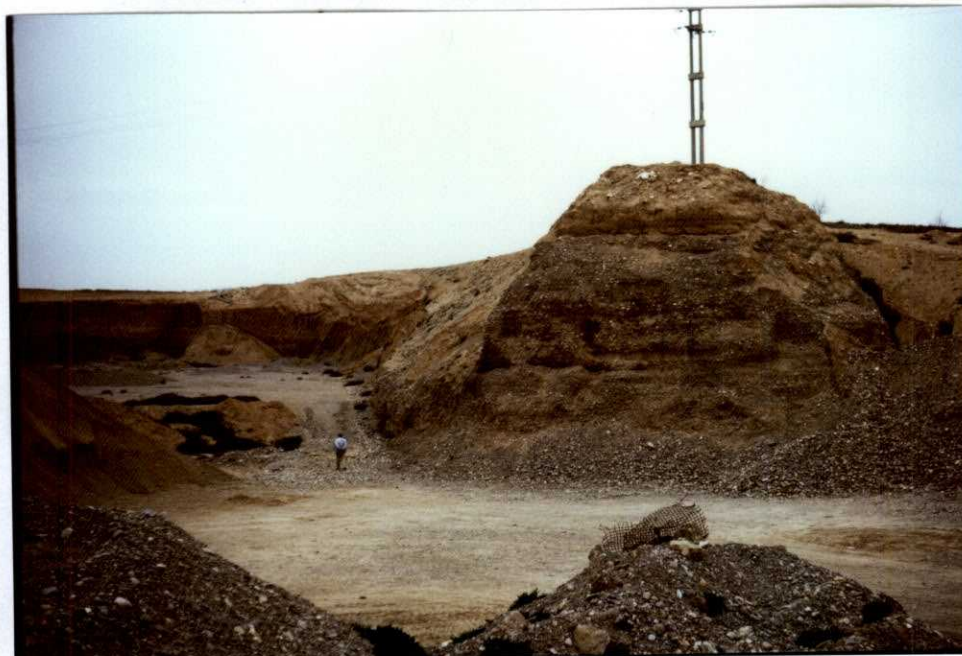
26.14-GS-JE-9062

Vista hacia el Oeste de la superficie generada por la terraza de 40 m del interfluvio Bco del Bayo-Bco de Juan Gastón.



26.14-GS-JE-9063

Terraza de los 20 m del Bco. del Bayo en las proximidades de Pozuelo. Conglomerados bimodales de cantes paleozoico-mesozoicos subredondeados.



26.14-GS-JE-9064

Cantera inactiva entre Bardallur y Bárboles que muestra el desarrollo de la terraza de 55-60 m con casi 20 m de potencia de conglomerados de cantes paleozoicos y mesozoicos.



26.14-GS-JE-9065

Edaficaciones cruzadas en los conglomerados y arenas de la terraza de 115 m, en las proximidades de Puinegrel.



26.14-GS-JE-9066

Corte principal de la terraza de 75 m con alta proporción de cantos paleozóicos bien redondeados.



26.14-GS-JE-9067

Deformaciones en yesos y lutitas rosadas en un pequeño afloramiento bajo la terraza de 75 m.



26.14-GS-JE-9068

Escarpe de la terraza de 55-60 m con un 14% de fracción arenosa y rostro fundamentalmente de cantos paleozoicos.



26.14-GS-JE-9069

Cantera inactiva en la terraza de 55-60 m que proporciona un corte mayor de 12 m.



26.14-GS-JE-9071

El río Ebro a su paso por Alcalá, con una característica barra central.



26.14-GS-JE-9072

En una cantera próxima a la Dehesa de Campo se ha explotado una terrazza, probablemente la de 90 m, oculta por un glacis posterior. Destaca la gran proporción de fracción arena que puede superar el 55%.



26.14-GS-JE-9073

Pico Atalaya en las facies dolomitico yesiferas de la U. Pallaruelo-Monte de La Sora (U.T.S. N-1).



26.14-GS-JE-9074

Cerro al Oeste de la Atalaya con el término terrígeno rojizo basal de la U. Pallaruelo-M. de La Sora.



26.14-GS-JE-9075

Pico de El Aguila, mostrando un corte desde los términos superiores de la U. Remolinos-Lanaja (U.T.S. N-1) hasta los basales de la U. Montes de Castejón (U.T.S. N-2).



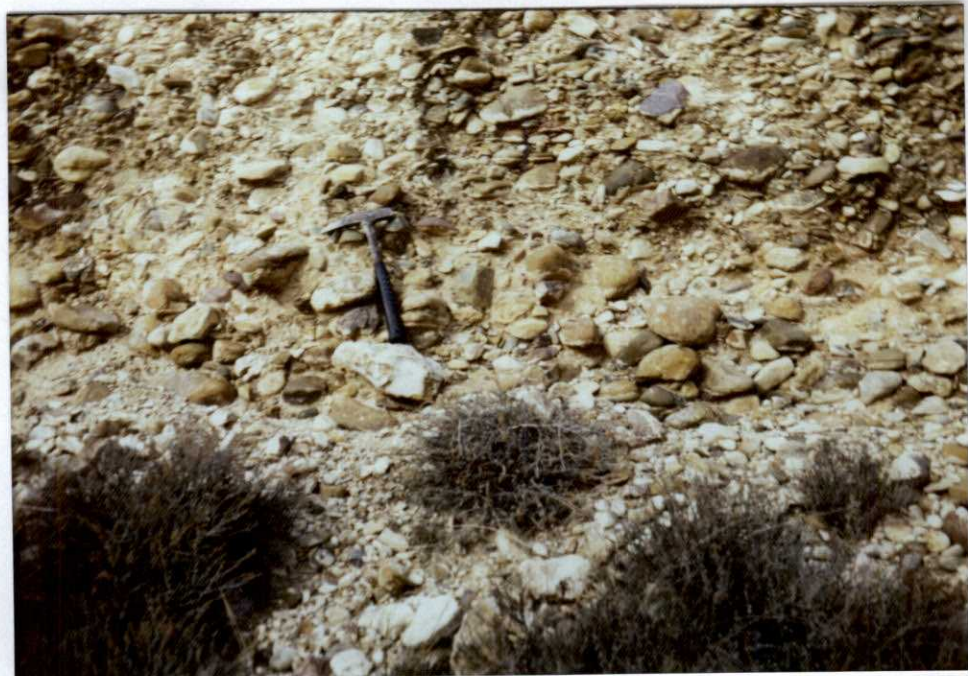
26.14-GS-JE-9076

Vista del valle al Norte del cerro de El Aguila, modelado en los términos de la U. Pallaruelo-M. de La Sora.



26.14-GS-JE-9078

Terraza de los 190 m al NE del km 18 de la Ctra. de Pedrola a Pozuelo con una potencia vista de unos 2,5 m.



26.14-GS-JE-9077

Detalle de la terraza de 190 m mostrando la presencia de cantos de silex y arenisca del Terciario, en proporción que puede llegar al 10%.



26.14-GS-JE-9079

Estripaciones occidentales de La Lomaza con los términos terrígeno y yesifero-carbonatados de la U. Srra. de Pallaruelo-Monte de La Sora.



26.14-GS-JE-9080

Relictos de la terraza de 190 m en las proximidades de El Aguila.



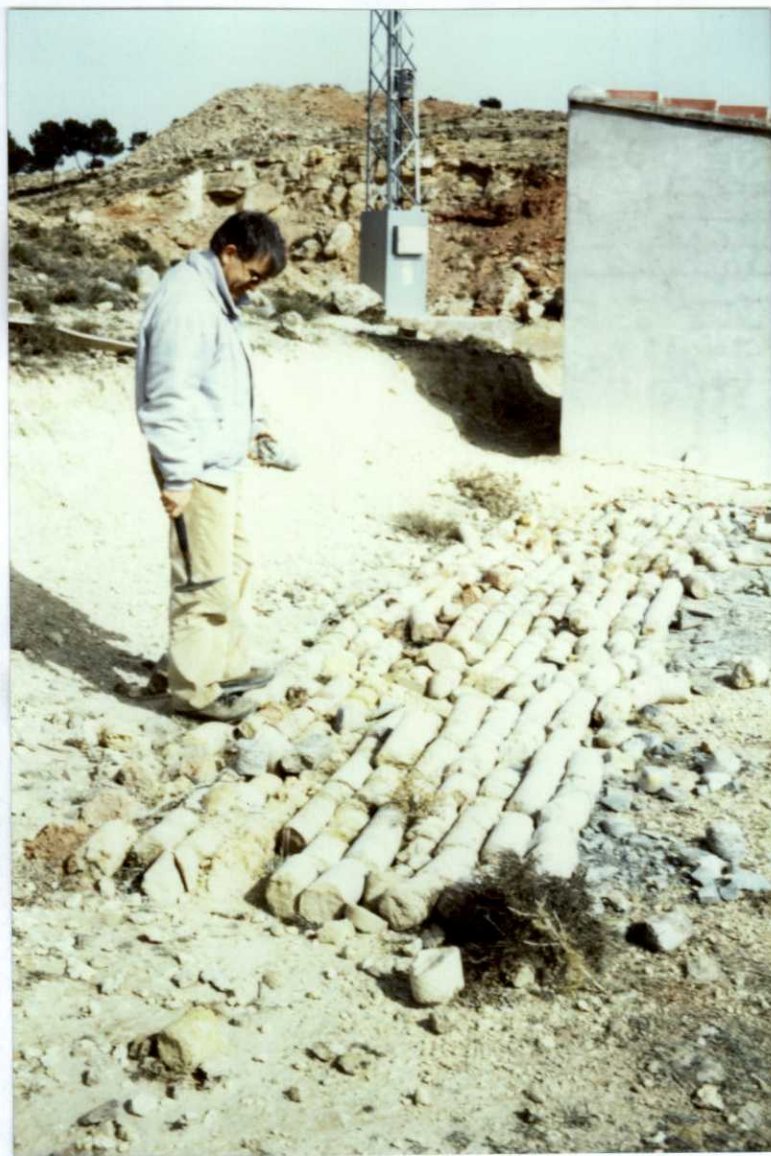
26.14-GS-JE-9083

Interfase de las facies yesiferas y las carbonatadas del lago salino de la U. Montes de Castejón (U.T.S. N-2) al Norte de Pozuelo de Aragón.



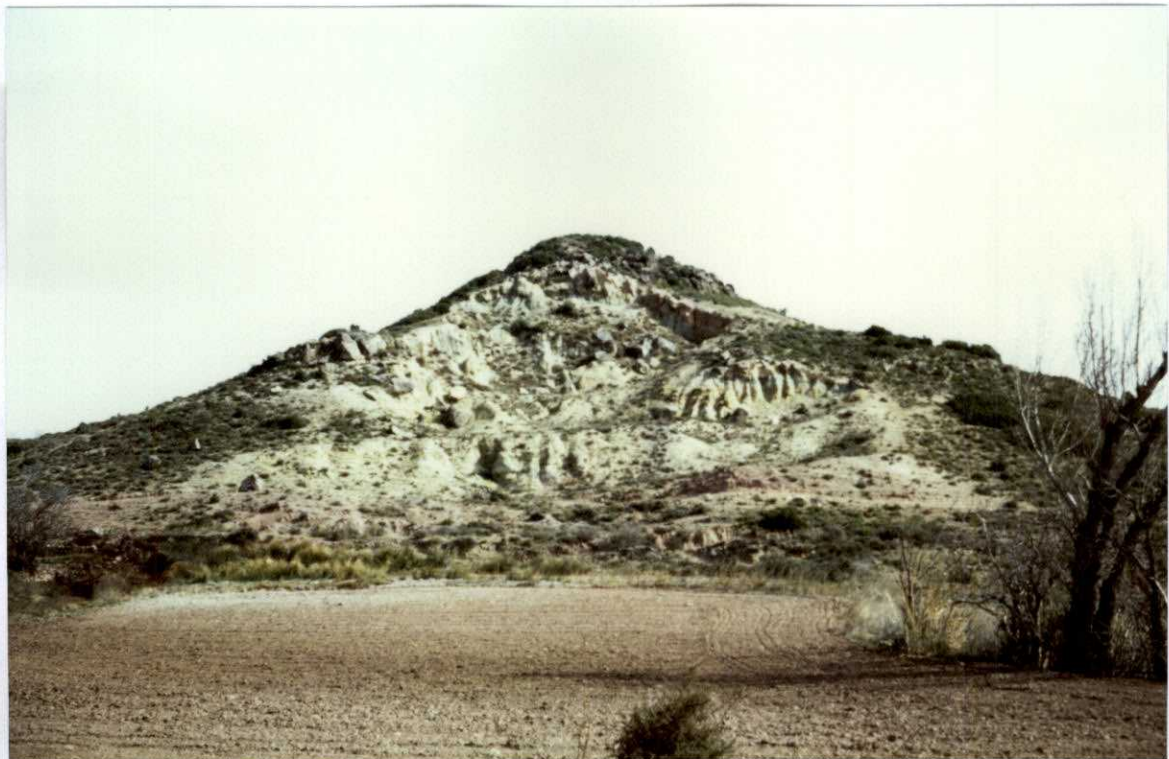
26.14-GS-JE-9086

Serie carbonatada del Lias inferior sobre el tramo lutítico-yesifero rojo del Keuper.



26.14-GS-JE-9085

Testigo de sondeo en Fuendejalón con más de 60 m de alternancia de yesos y lutitas policolores atribuibles al Keuper.



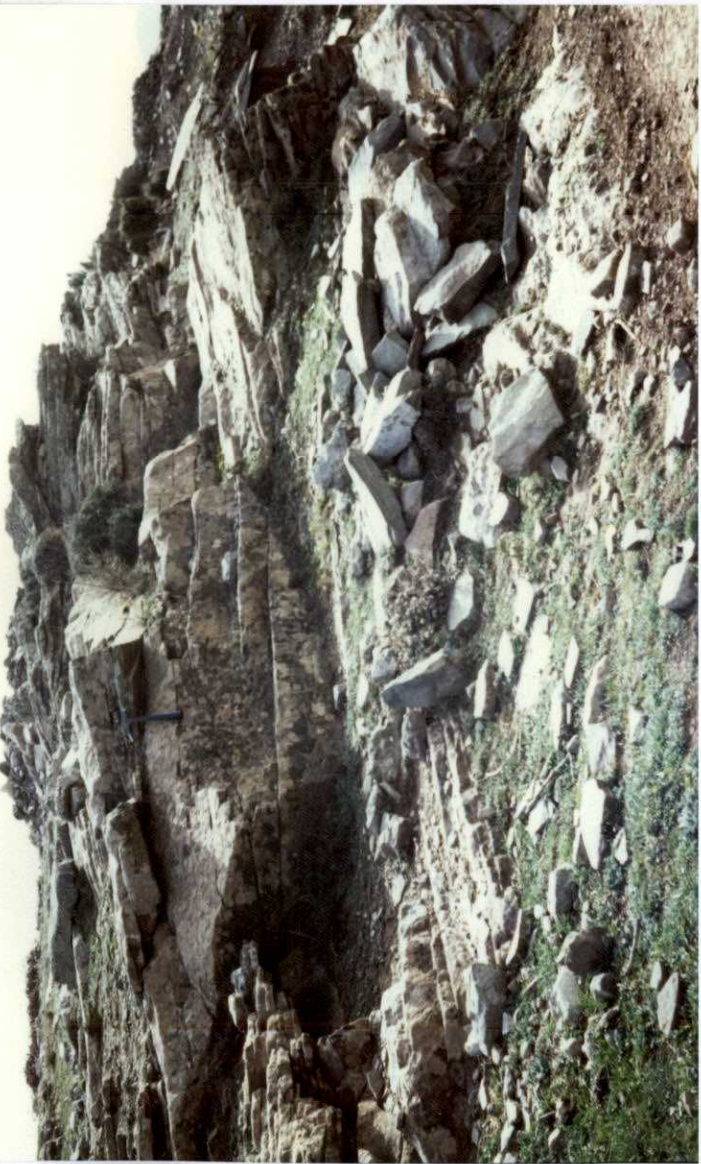
26.14-GS-JE-9087

Contacto entre las facies lutíticas rojas del Buntsandstein y las margosas grises del Muschelkalk. A techo dolomías grises de la - misma edad.



26.14-GS-JE-9088

Canales de alta sinuosidad del Buntsandstein con dunas migrantes marcadas por cicatrices erosivas con cantos.



26.14-GS-JE-9089

Barras arenosas del Buntsandstein con agradación vertical por mega\_ripples de cresta recta con trenes de ripples sobreimpuestos.



26.14-GS-JE-9090

Aspecto de la serie ordovicica con alternancia de cuarcitas, arenis\_cas y pizarras.



26.14-GS-JE-9091

Vista del Otón con la hombrera de calizas sobre el tramo carbonatado limite entre las U.T.S. N-1 y N-2.



26.14-GS-JE-9092

Resalte de conglomerados de la terraza de 20 m del Bco. del Bayo en su margen derecha, aguas abajo de Pozuelo.



26.14-GS-JE-9093

Vista de Pozuelo de Aragón, cerro Otón y alto de la Fontella en los miembros de la U.T.S. N-2.



26.14-GS-JE-9094

Fuendejalón con su montículo de calizas liásicas. Al fondo las "Lomas" en cuarcitas y pizarras ordovicicas.





